

زیست چینه شناسی توالی دونین پسین در برش هوتك (شمال کرمان) براساس کنودونتها

نوشته: دکتر حسین غلامعلیان

Biostratigraphy of Late Devonian Sequence in Hutk Section (North of Kerman) Based on Conodonts

By: Dr. H. Gholamalian*

چکیده

بررسی انجام شده بر روی افقهای برش هوتك نشان دهنده سن فرازین میانی تا فامنین برای این برش، شامل سه جنس و هجده گونه و زیر گونه است. گونه های شاخصی مانند *P. zinaidae* و *I. vitabilis* سن فرازین میانی تا پسین (*hassi – linguiformis Zone*) را برای بخش زیرین مقطع نشان می دهند. همچنین یافت شدن تعدادی از گونه های شاخص فامنین مانند *P. semicostatus*, *I. cornutus*, *I. iowaensis* و *Pel. inclinatus* نشان دهنده سن فامنین پیشین (*triangularis – Late crepida Zone*) برای بخش بالایی برش است. محدوده سنی بعضی گونه ها در این مقاله تغییر کرده است به صورتی که سن گونه ' *I. iowaensis* از فرازین میانی شروع می شود و سن *P. alatus* تا فامنین پیشین ادامه می یابد. همچنین به نظر می رسد که قدیمی ترین نمونه های *P. communis* با سن فرازین میانی در قاعده این برش وجود داشته باشد.

کلید واژه ها: کنودونت، دونین، زیست چینه نگاری

Abstract

Investigations on Hutk section prove the age of Middle Frasnian to Early Famennian for this section. Three genera and eighteen species have been obtained. Index species such as *P. zinaidae* and *I. vitabilis* show the age of Middle to Late Frasnian (*hassi – linguiformis Zone*) for the lower part of the section. Some of the Famennian index species such as *P. semicostatus*, *I. cornutus*, *I. iowaensis* and *Pel. inclinatus* reveal the age of Early Famennian (*triangularis – Late crepida Zone*). The new age ranges for some species have been determined in this paper. The earliest presence of *I. iowaensis* seems to be in Middle Frasnian and the range of *P. alatus* extends to Early Famennian. The oldest specimens of *P. communis* can be observed at the base of Hutk section by the age of Middle Frasnian.

Key words: Conodonts, Devonian, Biostratigraphy

مقدمه

نمونه برداری سیستماتیک لازم به نظر می رسد. برای انجام این تحقیق ۳۰ نمونه چهار کیلوگرمی از بخش مربوط به دونین پسین برداشته شد که پس از خرد کردن و اسید شویی، ۱۹ عدد از آنها حاوی کنودونت بودند. بررسیهای انجام شده منجر به شناسایی هجده گونه و زیر گونه شد. سپس زیست زون بندی مجموعه های کنودونتی بر اساس استاندارد Ziegler & Sandberg (1990) انجام شد. نام جنسها در این مقاله به صورت مخفف ذکر شده اند که به این ترتیب می باشند:

برش هوتك یکی از برش های جنوب خاوری ایران است که به دلیل دسترسی آسان به آن توسط افراد متعددی مورد بررسی قرار گرفته است. این برش به حاطر غنی بودن فسیله ای مختلط مانند بازو بیان و ماهیان مورد توجه بوده است. از جمله مطالعاتی که در سالهای اخیر انجام شده است می توان به مقالات Webster *et al.* (2002) و Wendt *et al.* (2003) اشاره کرد. با توجه به اختلاف زیادی که در مورد سن برش هوتك بین افراد مختلف وجود دارد، انجام یک مطالعه دقیق هم راه با

رأس توالی مذکور قرار می‌گیرد که وجود کنودونهای کربنیفر در آن توسط Wendt *et al.* (2002) و Webster *et al.* (2003) اثبات شده است.

بعش مورد مطالعه در این تحقیق به سمت‌های ۲۴۴/۶ متر و سن فرازین - فامینین می‌باشد که تقریباً ۸۹/۵ متر آن مربوط به فرازین و بقیه مربوط به فامینین است (شکل ۲). بعضی محققان Webster *et al.* (2003) بر این باورند که در این برش، لایه‌های کربنیفر (تورنرین) مستقیماً روی افقهای فرازین قرار می‌گیرند و این به معنی نبود چینه‌شناسی فامینین است ولی در نمونه برداری‌های اخیر، وجود کنودونهای شاخص نظری *I. cornutus*, *I. adanaensis*, *Pel. inclinatus*, *P. semicostatus*, *P. nodocostatus* برای رأس برش (لایه‌های زیر بخش کربنیفر) محزن ساخته است.

با در نظر گرفتن موقعیت چینه‌شناسی می‌توان گفت که توالی مورد مطالعه از نظر سنی می‌تواند معادل سازند بهرام و بخشی از سازند شیشتو باشد ولی از نظر سنگ شناسی و نوع زیای جانوری و همچنین رخسارهای حیاتی با سازندهای ذکر شده تفاوت دارد. به نظر می‌رسد که این توالی به صورت پیشرونده روی رسوبات تخریبی سرخ رنگ مربوط به سازند پادها قرار می‌گیرد. با توجه به این که کنودونهای به دست آمده از قاعدهٔ مقطع سن فرازین میانی را نشان داده‌اند، می‌توان گفت که سن بخش رأس سازند پادها درین منطقهٔ ترازین پیشین ادامه می‌پابد. تعدد افقهای ماسه سنگی در توالی نشان دهندهٔ چرخه‌های کوچک‌تر پسروی و پیشروی می‌باشد. در بالاترین قسمت این توالی، افقهای ماسه سنگ سفید به سمت‌های ۴۱/۷ متر وجود دارد و بالاصله روی این افقهای اولین لایه‌های کربنات مربوط به تورنرین قرار می‌گیرند. نمونه‌های کنودونت به دست آمده از لایه‌های آهکی واقع در زیر افقهای ماسه سنگی نشان دهندهٔ سن فامینین پیشین (Middle triangularis - Late crepida Zone) می‌باشند. از طرف دیگر، کنودونهای به دست آمده توسط Webster *et al.* (2003) از لایه‌های کربنات بالای ماسه سنگها، سن تورنرین را نشان می‌دهند. با توجه به موارد ذکر شده، به نظر می‌رسد که بخش ماسه سنگی سن فامینین میانی - پسین داشته باشد و این نشان دهندهٔ پسروی یا کم عمق‌تر شدن محیط دریایی به صورت طولانی مدت در فامینین میانی - پسین است و توالی کربنیفر به صورت پیشرونده روی لایه‌های ذکر شده قرار می‌گیرد.

این برش به خاطر وجود انواع فسیلهای ماهیان در افقهای آن مورد توجه بوده است. از جمله Bleick & Goujet (1978) گونه معروفی از ماهیان Turiniid را به نام *Turinia hutkensis* برای نخستین بار در لایه‌های پایینی این برش شناسایی و معرفی کردند که البته محل دقیق لایهٔ مربوط به آن مشخص نیست (Turner *et al.*, 2002).

P. = Polygnathus, I. = Icriodus, Pel. = Pelekysgnathus, UAE = Unassigned elements.

موقعیت جغرافیایی برش هوتك

این برش در فاصلهٔ ۳۰ کیلومتری شمال کرمان، در حاشیهٔ جاده کرمان - راور و در کنار روستای هوتك قرار دارد. برای دسترسی به این مقطع پس از رسیدن به روستای هوتك، از طریق جادهٔ کنار روستا که چند صد متر به طرف خاور ادامه دارد، به پای مقطع می‌رسیم. این برش در یال باخته‌ی کوه خواجه واقع شده است.

زمین‌شناسی ناحیهٔ هوتك

این ناحیه در بخش جنوب خاوری نقشه زمین‌شناسی زرند به مقیاس ۱:۱۰۰۰۰۰ قرار دارد و مطالعات آن توسط سازمان زمین‌شناسی کشور (وحدتی دانشمند و دیگران، ۱۳۷۴) انجام گرفته است. از نظر زمین‌ساختی، این منطقه در جنوب باخته گسل کوهبنان واقع شده است. قدیمی‌ترین واحد زمین‌شناسی این منطقه سری دزو است که شامل رسوبات گچ، دولومیت، ماسه سنگ و توده‌های آتشفسانی با سن اینفراتامبرین؟ - کامبرین پیشین است. به نظر وحدتی دانشمند و دیگران (۱۳۷۴) واحد تفکیک نشده‌ای از رسوبات سیلورین - دونین روی سری دزو را می‌پوشاند و شامل آهکهای فسیل دار، ماسه سنگها و شیلهای قرمز است. این توالی معادل دو سازند نیور و پادها در نظر گرفته می‌شود. به نظر ایشان، واحدهای بعدی که روی سازند پادها را می‌پوشانند، دو سازند بهرام و شیشتو می‌باشند و شامل لایه‌های آهک فسیل دار، شیل و ماسه سنگ می‌شوند. برش اندازهٔ گیری شده در این تحقیق نیز در همین بخش واقع شده است (شکل ۱). این بخش به صورت پیوسته توسط رسوبات کربنیفر که شامل آهک است، پوشیده می‌شود. توالی معادل سازندهای بهرام و شیشتو سن فرازین - فامینین دارد و رسوبات کربنیفر روی آن را می‌پوشانند. رخسارهٔ این لایه‌ها با مقاطع تیپ سازندهای بهرام و شیشتو متفاوت است و این افقها فقط از نظر سنی معادل با سازندهای ذکر شده هستند. توالیهای پرمن و جوانتر از آن در منطقه هوتك شیوه منطقه هجدک می‌باشد.

چینه‌شناسی برش هوتك

رسوبات دونین پسین در این برش شامل توالیهای کربنات و تخریبی بسیار کم عمق می‌باشد که معادل دو سازند بهرام و شیشتو در نظر گرفته شده‌اند (وحدتی دانشمند و دیگران، ۱۳۷۴). قاعدهٔ این توالی بر روی توالی تخریبی سرخ رنگی قرار می‌گیرد که معادل سازند پاها است. توالی کربنات به سن کربنیفر پیشین (تورنرین) در

شروع این زیست زون با ظهور زیر گونه *I. alternatus alternatus* مشخص می شود و پایان آن نیز با آخرین حضور گونه *I. vitabilis* شناخته می شود. به نظر (Ziegler & Sandberg 2000) *I. alternatus* محدوده سنی برابر *I. rhenana* – Late Zone محدوده سنی برابر *I. crepida* دارد. همچنین براساس نظر Nazarova (1997) گونه *I. vitabilis* محدوده سنی برابر *I. transitans* – Late *I. rhenana* Zone دارد. لذا این دو گونه می توانند پایین و بالای زیست زون ذکر شده را مشخص کنند.

بعض بینایینی و مرز فرازنین – فامینین: (K47-K49)

در فاصله بین $\frac{84}{3}$ و ۹۵ متر بخشی فاقد فسیل شاخص وجود دارد و تنها گونه کنودونت موجود در آن *P. angustidiscus* است. سن این بخش کم فسیل با در نظر گرفتن موقعیت چینه شناسی برابر زون *Early triangularis* تا زون *linguiformis* می باشد. مرز میان دو آشکوب فرازنین و فامینین در این حد فاصل قرار می گیرد. بر اساس مطالعات دقیقی که در سالهای اخیر توسط متخصصان متعدد انجام شده، حادثه عظیمی در کره زمین اتفاق افتاده است که باعث انفراض جمعی جانداران شده است. این دومین انفراض بزرگ (از نظر ترتیب زمانی) در طول فانزوژوییک است و با نام حادثه Kellwasser (Becker & House , 1994 ; Walliser et al., 1989;

Sandberg & Ziegler, 1996; Sandberg et al., 1988) علت کمیاب بودن کنودونتها در افقهای مربوط به بخش ذکر شده، همین انفراض بزرگ است. تعیین مرز فرازنین – فامینین در برش هوتک نیاز به نمونه برداری متعدد در فاصله های کوتاه دارد و تحقیق گسترده تری را می طلبد.

زیست زون (K49-K60): Middle triangularis - Late crepida

این زیست زون در فاصله متر $\frac{95}{20\frac{2}{9}}$ تا $\frac{20\frac{2}{9}}{20\frac{2}{9}}$ قرار دارد. گونه های موجود در این زیست زون عبارتند از:

P. communis communis, *P. semicostatus*, *P. nodocostatus*, *P. alatus*, *I. alternatus alternatus*, *I. cornutus*, *Pel. Brevis*, *I. iowaensis iowaensis*, *I. alternatus helmsi*, *I. adanaensis*, *Pel. inclinatus*.

به نظر Sandberg & Dreesen (1984) سن گونه *I. cornutus* برابر *Middle triangularis - Late marginifera Zone* است. لذا شروع زیست زون ذکر شده می تواند مطابق با ظهور گونه *I. cornutus* در نظر گرفته شود. همچنین به نظر (Ji & Ziegler 1993)

ذکر شد، بر روی این برش، یک توالی کربناتی با سن کربنیفر قرار می گیرد که نام غیر رسمی سازند هوتک بر آن نهاده شده است (Wendt et al. 2002).

زیست چینه شناسی برش هوتک

بررسیهای انجام شده بر روی مجموعه کنودونتها به دست آمده از مقطع هوتک نشان دهنده وجود ۳ جنس و ۱۸ گونه و زیر گونه کنودونت در این مقطع است (جدول ۱). با در نظر گرفتن موقعیت افتها نسبت به هم و سنی که برای هر گونه در منابع ذکر شده است، سه زیست زون در این برش قابل شناسایی هستند که به ترتیب به آنها پرداخته می شود (شکل ۲).

(B1-K45): Early hassi - jamieae

این زیست زون شامل افقهایی است که از قاعده مقطع تا متر $\frac{67}{1}$ وجود دارند. گونه های موجود در این زیست زون شامل *P. angustidiscus*, *P. zinaidae*, *I. vitabilis*, *I. excavatus*, *I. iowaensis*, *I. expansus*, *I. xenium*, *Pel. sp.* زیست زون با پیدایش *P. zinaidae* شناسایی می شود. با توجه به نظر Kononova & Ovnatova (2001) پیدایش گونه *I. vitabilis* در *Early hassi Zone* *P. zinaidae* بوده است و گونه *I. vitabilis* نیز احتمالا در *transitans Zone* ظاهر شده است (Nazarova, 1997). ظهور گونه *I. alternatus* در قاعده زیست زون بعدی، حد بالای این زیست زون را مشخص می کند. از نکات قابل توجه در این زیست زون، وجود قدیمی ترین نمونه های گونه *P. communis* می باشد (جدول ۱). قبلا نیز همین گونه از افقهای فرازنین پسین ناحیه اصفهان گزارش شده است (غلامعلیان، ۱۳۸۲؛ غلامعلیان و کبریائی، ۱۳۸۱) ولی نمونه های مقطع هوتک سن فرازنین میانی دارند. تا کنون هیچ گزارشی از وجود این گونه در افقهایی با سن قدیمی تر از فامینین پیشین از هیچ نقطه ای خارج از ایران نشده است. همچنین به نظر می رسد که در این زیست زون نمونه هایی از زیر گونه *I. iowanensis iowaensis* وجود دارد و سن این زیر گونه نیز تغییر کرده و به فرازنین میانی می رسد. قدیمی ترین گزارش این زیر گونه مربوط به Ziegler and Sandberg (1990) است که آن را از افقهایی با سن فرازنین پسین (*linguiformis Zone*) گزارش کرده اند.

(K45-K47): Early – Late rhenana

این زیست زون شامل بخشی از مقطع است که بین متر $\frac{84}{3}$ تا $\frac{67}{1}$ قرار دارد. گونه های شناسایی شده در این بخش عبارتند از: *P. angustidiscus*, *I. alternatus alterntus*, *I. vitabilis*,

فرازنین و یکی مربوط به فامینین است. مقطع مورد مطالعه معادل سازند بهرام و بخشی از سازند شیشتو در نظر گرفته می‌شود. قاعدهٔ این برش به صورت پیشونده بر روی رسوبات معادل سازند پادها قرار دارد و این نشان می‌دهد که سن رأس سازند پادها در این منطقه تا فرازنین پیشین می‌رسد و قاعدهٔ رسوبات معادل سازند بهرام در این برش، سن فرازنین میانی دارد. به نظر می‌رسد که در فامینین میانی و پسین محیط رسوب گذاری بسیار کم عمق شده به صورتی که رسوبات تخریبی گذاشته شده‌اند. ولی در ابتدای کربنیفر (تورزنین) شرایط دریابی دوباره حاکم شده است.

تقدیر و تشکر

این تحقیق به صورت طرح مستقل پژوهشی با حمایت مالی دانشگاه هرمزگان انجام شده است و نگارنده از ریاست محترم دانشگاه هرمزگان و مدیر کل محترم پژوهشی آن کمال تشکر را به عمل می‌آورد. از مدیریت محترم آزمایشگاه‌های شرکت هواپیما سازی ایران (همسا) به خاطر همکاری در تهیه عکس‌های SEM قدردانی می‌شود. از آقایان دکتر محمد رضا کبریانی و سعید افشاری به خاطر کمک در نمونه برداری صحرائی و اسید شوئی نمونه‌ها سپاسگزاری می‌شود.

Ziegler & Sandberg (2000) سنی معادل *I. alternatus* گونهٔ *I. rhenana* - Late crepida Zone دارد. با توجه به حضور این گونه در آخرین افقهای این بخش، حدنهایی این زیست‌زون مشخص می‌شود. سن ذکر شده توسط گونه‌های *Pel. brevis* و *I. adanaensis* تأیید می‌شود. نکته قابل توجه در این زیست‌زون، حضور گونهٔ *P. alatus* است و این اولین گزارش این گونه از افقهای فامینین در جهان می‌باشد.

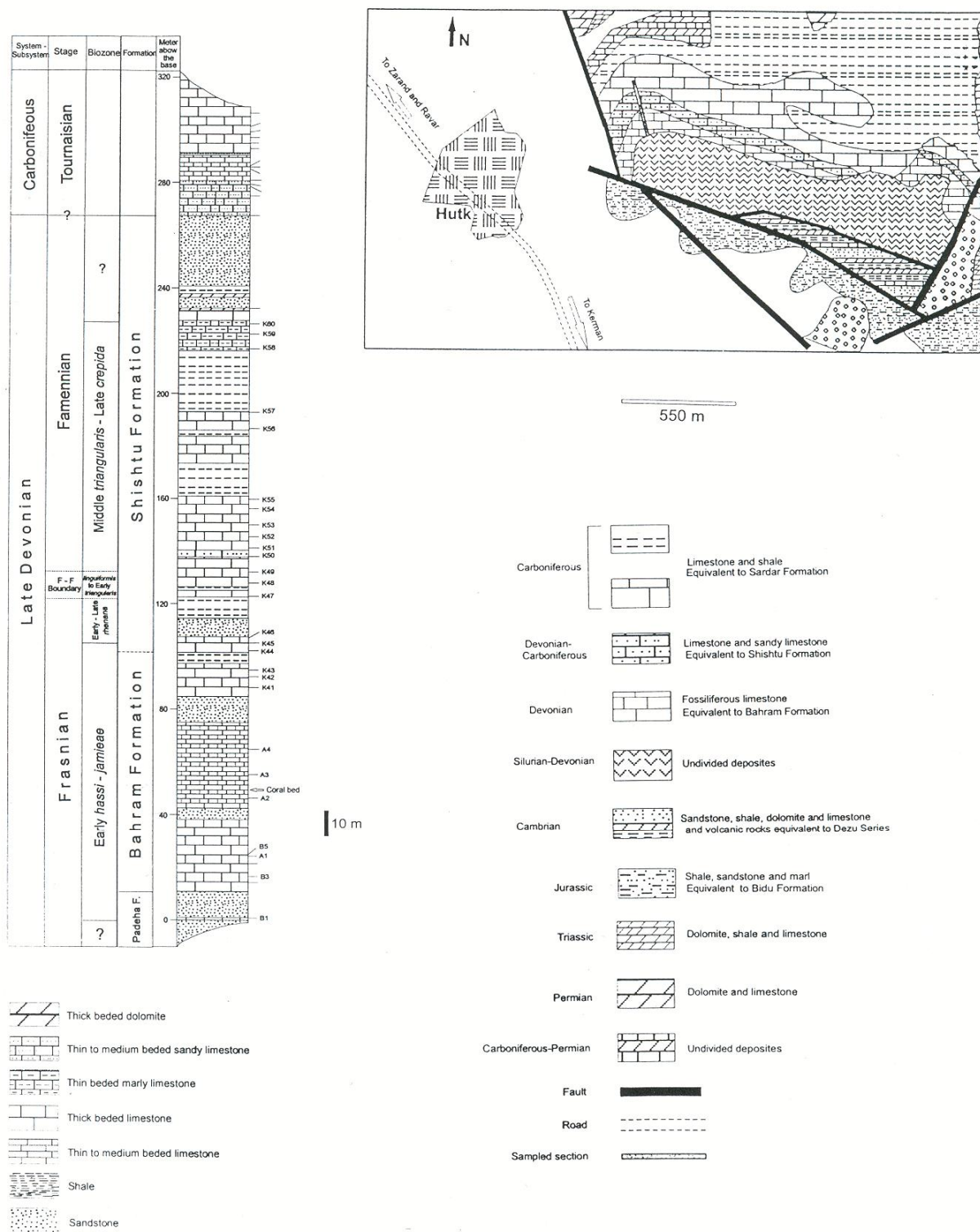
هیچ گونه‌فسیلی در بخش بالایی این مقطع (بخش عمدتاً تخریبی) که ۴/۷ متر ستبرا دارد، پیدا نشده است ولی از آنجا که این افقهای تخریبی بین لایه‌های فیلی دار فامینین پیشین و تورزنین قرار می‌گیرند، احتمالاً مربوط به فامینین میانی – بالایی می‌باشد.

نتیجه گیری

بررسی مجموعه‌های کنودونتی به دست آمده در این تحقیق نشان می‌دهد که برش هوتك سنی برابر فرازنین میانی تا فامینین پیشین (hassi - Late crepida Zone) دارد. سه زیست‌زون و یک بخش بینایینی در این تحقیق شناسایی شده‌اند که دو زیست‌زون مربوط به

جدول ۱- جدول پراکندگی کنودونتها در نمونه‌های برش هوتك.

Species	Sample	B1	B2	B3	B5	K41	K45	K47	K48	K49	K50	K51	K52	K53	K54	K55	K56	K58	K59	K60
<i>I. adanaensis</i>																		1	2	
<i>I. alternatus</i> al.						2	1		3	3						3		1	3	
<i>I. alternatus helmsi</i>												1								
<i>I. cornutus</i>									4	3	1	2	1		2			1	1	
<i>I. excavatus</i>		1		6																
<i>I. expansus</i>		8	1		1					2										
<i>I. iowaensis</i> <i>iowaensis</i>		6		3					3				1				2			
<i>I. vitabilis</i>		4			1															
<i>I. xenium</i>				2	2	1					1									
<i>Pel. brevis</i>		1										2			1			2		
<i>Pel. inclinatus</i>										2										
<i>Pel. sp.</i>		1																		
<i>P. alatus</i>										2			1	1						
<i>P. angustidiscus</i>				2	3	1	1													
<i>P. communis</i> com.			5				1		2		1	1			1	1	1	2	1	
<i>P. nodocostatus</i>																	1			
<i>P. semicostatus</i>		-											1							
<i>P. zinaidae</i>		2																		
Unasigned elements		2	2	31	2	4	10	9	1	5	19		16	5	4	3	2	4	7	43
Total		4	2	57	3	17	19	13	2	17	31	2	23	7	6	11	3	6	14	52



شکل ۲- ستون چینه شناسی برش هوتك.

شکل ۱- نقشه زمین شناسی ناحیه هوتك.

PLATE 1

All figures are X40.

Icriodus iowaensis iowaensis Youngquist and Petersen, 1947

Fig. 1. Upper view, HUIC130, Sample B3.

Fig. 5. Oblique upper view, HUIC133, Sample K54.

Icriodus vitabilis Nazarova, 1997

Fig. 2. Upper view, HUIC131, Sample B3.

Fig. 3. Upper view, HUIC132, Sample K45.

Icriodus excavatus Weddige, 1984

Fig. 4. Upper view, HUIC134, Sample K41.

Icriodus cornutus Sannemann, 1955

Fig. 6. Upper view, HUIC135, Sample K53.

Icriodus alternatus alternatus Branson and Mehl, 1934

Fig. 7. Upper view, HUIC136, Sample K49.

Icriodus alternatus helmsi Sandberg and Dreesen, 1984

Fig. 8. Upper view, HUIC137, Sample K53.

Icriodus adanaensis Capkinoglu and Gedik, 2000

Fig. 9. Upper view, HUIC138, Sample K60.

Pelekysgnathus inclinatus Thomas, 1949

Fig. 11. Lateral view, HUIC140, Sample K50.

Pelekysgnathus brevis Sandberg and Dreesen, 1984

Fig. 12. Lateral view, HUIC141, Sample K52.

Pelekysgnathus sp.

Fig. 13. Upper view, HUIC142, Sample B3.

Polygnathus zinaidae Kononva, Alekseev, Barskov and Reimers, 1996

Fig. 14. Upper view, HUIC143, Sample B1.

Polygnathus angustidiscus Branson and Mehl, 1934

Fig. 15. Upper view, HUIC144, Sample K41.

Polygnathus communis communis Branson and Mehl, 1934

Fig. 16. Lower view, HUIC145, Sample B3.

Fig. 17. Upper view, HUIC146, Sample B3.

Polygnathus alatus Huddle, 1934

Fig. 18. Upper view, HUIC147, Sample K55.

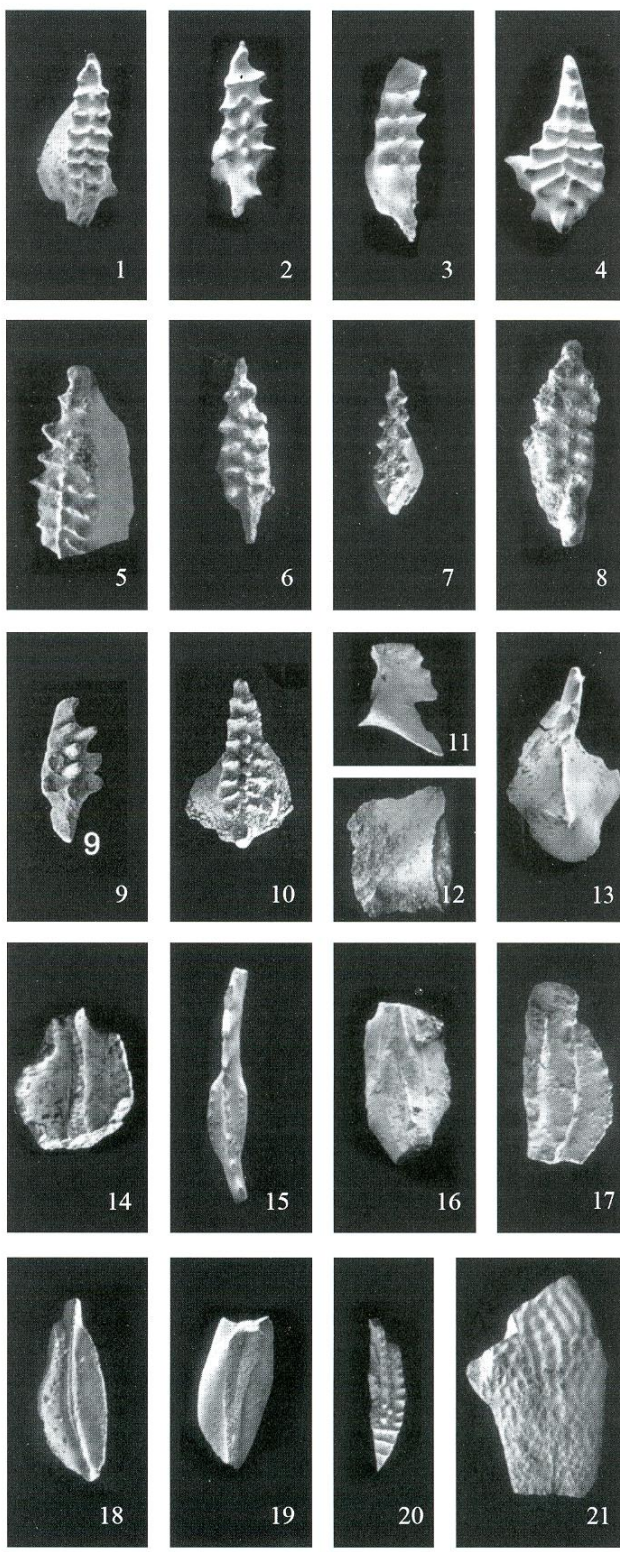
Fig. 19. Lower view, HUIC148, Sample K50.

Polygnathus semicostatus Branson and Mehl, 1934

Fig. 20. Upper view, HUIC149, Sample K52.

Polygnathus nodocostatus Branson and Mehl, 1934

Fig. 21. Upper view, HUIC150, Sample K58.



كتابنگاري

غلامعلیان، ح. و کبریائی، م.، ۱۳۸۱- منشأ احتمالی گروه کنودونتی *Polygnathus communis* و ابهام در مورد زمان پیدایش آن: مجموعه مقالات بیست و یکمین گردهمایی علوم زمین، صفحه ۴۰۷-۴۰۶.

غلامعلیان، ح.، ۱۳۸۲- بیواستراتیگرافی مرز فرازنین - فامینین در دو ناحیه اصفهان و طبس، رساله دکتری، گروه زمین شناسی دانشگاه اصفهان، (چاپ نشده).

وحدتی داشمند، ف.، محمودی قرایی، م.ح. و قاسمی، ع.، ۱۳۷۴- نقشه زمین شناسی زرند (۱:۱۰۰۰۰)؛ سازمان زمین شناسی کشور، ورقه ۷۳۵۱.

References

- Barskov, I.S., Vorontsova, T.N., Kononova, L.I. and Kuz'min, A.V. , 1991- Oprdelitel konodontov devona i nizhnego karbona.[in Russian]. Moskovskiy gosudarstvennyy Universitet, 183 p., Moscow.
- Becker, R.T. and House, M.R., 1994- Kellwasser Events and goniatite succession in the Devonian of Montagne Noire with comments on possible causations. Cour. Forsch. Senck., vol. 169, p. 45-77.
- Bleick, A. and Goujet, D., 1978- A poropos de nouveau material de Thelodontes (Vertebres, Agnathes) d'Iran et de Thailand: apercu sur la repartition geographique et stratigraphique des paleozoique moyen. An. de la Soci. Geol. du Nord, vol. 47, p. 363-372.
- Capkinoglu, S., 1991- A new Pelekysgnathus species from the Lower Famennian of the Taurides, Turkey. Bull. della Soc. Paleont. Ital., vol. 30, p. 349-353.
- Capkinoglu, S., and Gedik, I., 2000- Late Devonian conodont fauna of the Gumusali Formation, the eastern Taurides, Turkey. Turk. Jour. of Earth Sci., vol. 9, p.69-89.
- Dastanpour, M., and Aftabi, A., 2002- The cause of biomass extinction at the Frasnian - Famennian boundary, the Kerman Province southeastern Central Iran. Jour. of Sci., Is. Rep. of Iran, vol. 13-1, p. 45-49.
- Gholamalian, H., 2003- Age implication of Late Devonian conodonts from the Chahriseh area northeast of Esfahan, Central Iran. Cour. Forsch. Senck., vol. 245, p. 201-207.
- Harris, A. and Sweet, W.C., 1989- mechanical and chemical techniques for separating microfossils from rock, sediment and residue matrix, In: Feldmann, R., Chapman, R. E. and J. T. Hannibal (eds): Palaeotechniques. The Palaeo. Soci. Spec. Pub., no. 4, 358 p.
- Ji, Q. and Ziegler, W., 1993- The Lalli section: An excellent reference section for Upper Devonian in south China. Cour. Forsch. Senck., vol. 157, p. 1-183.
- Klapper, G., and Lane, H.R., 1985- Upper Devonian (Frasnian) conodonts of the Polygnathus biofacies, N. W. T., Canada. Jour. of Palaeo., vol. 59, p. 904-951.
- Kononova, L.I., Alekseev, A.S., Barskov, I.S., and Reimers, A.N., 1996- New species of polygnathid conodonts from the Frasnian of the Moscow Syncline [in Russian]. Paleo. Zhur., vol. 3, p. 94-99.
- Nazarova, V.M., 1997- New conodont species of th genus Icriodus from the Eifelian and Frasnian of the Russian Platform. Paleo. Zhur., no. 6, p. 71-74.
- Ovnatanova, N.S. and Kononova, L.I., 1996- New Frasnian Polignathids from Central areas of the Russian Platform. Paleo. Zhur., vol. 1, p. 52-60.
- Ovnatanova, N.S. and Kononova, L.I., 2001- Conodonts and Upper Devonian (Frasnian) biostratigraphy of central regions of Russian platform. Cour. Forsch. Senck., vol. 233, 115 p.
- Ruttner, A., Nabavi, M. H., and Hajian, J., 1965- Geology of Shirgesht area (Tabas area, East Iran). Geol. Sur. of Iran, Report no. 4, 133 p.
- Sandberg, C. A. and Dreesen, R., 1984- Late Devonian icriodontid biofacies models and alternate shallow water conodont zonation, In: Clark, D. L. (ed.), Conodont biofacies and provincialism: Geological society of Am. Bul. Spec. Pap., vol. 196, p. 143-178.
- Sandberg, C. A. and Ziegler, W., 1996- Reflexion on Frasnian and Famennian Stage Boundary decisions as a guide to future deliberations. News. Strat., vol. 33, no. 3, p. 157-180.
- Sandberg, C. A., Ziegler, W., Dreesen, R., and Butler, J., 1988- Part 3: Late Frasnian Mass Extinction. Conodont event stratigraphy, global changes and possible causes: Cour. Forsch. Senck., vol. 102, p. 263-307.
- Stöcklin, J. and Setudehnia, A., 1991- Stratigraphic Lexicon of Iran. Geol. Sur. of Iran, Report no. 18, 376 p.
- Turner, S., Burrow, C. J., Gholamalian, H. and Yazdi, M., 2002- Late Devonian (Early Frasnian) microvertebrates and conodonts from the Chahriseh area near Esfahan, Iran. Mem. of the Asso. of Aust. Palaeo., vol. 27, p. 149-159.
- Vorontsova, T. N., 1993- Rod Polygnathus sensu lato (konodonty): fylogeniya i sistematika. [in Russian]. Paleo. Zhur., vol. 3, p. 66-78.
- Vorontsova, T. N., 1996- Rod Neopolygnathus (konodonty). fylogeniya i sistematika. Paleo. Zhur., vol. 2, p. 82-84.
- Walliser, O., Groos-Uffenorde, H., Schindler, E. and Ziegler, W., 1989- On the Upper Kellwasser horizon (Boundary Frasnian/Famennian). Cour. Forsch. Senck., vol. 110, p. 247-255.

- Webster, G.D., Maples, C.G., Mawson, R. and Dastanpour, M., 2003- Acladid-dominated Early Mississippian crinoid and conodont fauna from Kerman Province, Iran and revision of the Glossocrinids and Rhenocrinids. *Jour. of Palaeo.*, vol. 77, supplement to no. 3, p. 1-35.
- Weddige, K., 1984- Zur Stratigraphie und Palaogeographie des Devons und Karbons von NE-Iran. *Senck. Leth.*, vol. 65-4/3, p. 179-225.
- Wendt, J., Kaufmann, B., Belka, Z., Farsan, N., Karimi Bavandpour, A., 2002- Devonian/Lower Carboniferous stratigraphy, facies patterns and palaeogeography of Iran, part I, southeastern Iran. *Ac. Geol. Polo.*, vol. 52, no. 2, p. 129-168.
- Ziegler, W. and Sandberg, C. A., 1990- Late Devonian standard conodont zonation, In: W. Ziegler (ed.), First International Senckenberg Conference and 5th European conodont Symposium Contribution (ECOS V). *Cour. Forsch. Senck.*, vol. 121, p. 1-115.
- Ziegler, W. and Sandberg, C. A., 2000- Utility of palmatolepids and icriodonids in recognizing Upper Devonian series, stages and possible substage boundaries. *Cour. Forsch. Senck.*, vol. 225, p. 335-337.

*گروه زمین شناسی، دانشکده علوم، دانشگاه هرمزگان

*Department of Geology, Faculty of Sciences, Hormozgan University